# ハドロン散乱の対称性と量子エンタングルメント

# 兵藤 哲雄

# 2025年11月25日

#### 概 要

都立大 2025 年度後期集中講義の講義ノート

# 目次

1	導入:核力、対称性、エンタングルメント	1
	1.1 核子散乱	1
	1.2 基礎理論の対称性と創発する対称性	1
	1.3 状態、演算子のエンタングルメント	2
	1.4 エンタングルメント抑制	3
		3
2		5
		5
		6
		7
	<u></u>	8
3	2 スピン系とエンタングルメント・エントロピー	9
	3.1 2スピン状態と全スピン	9
	3.2 クロネッカー積	9
	3.3 完全正規直交系	10
	3.4 相関の指標	11
4	古典相関と量子相関	13
	<u>4.1 純粋状態と混合状態</u>	13
	4.2 2 スピン間の相関	14
	4.3 エンタングルメントと縮約密度行列	16

5	散乱理論、S 行列、エンタングルメント・パワー	<b>17</b>
	5.1 S 行列と位相差	17
	5.2 散乱長	17
	5.3 2スピン系の量子ゲートとエンタングルメント	18
	5.4 エンタングルメント・パワー	19
6	核力とエンタングルメント抑制	21
	<u>6.1 2 核子系の波動関数</u>	21
	6.2 創発する対称性	22
	6.3 2 核子系のエンタングルメント抑制	23
	6.4 量子ゲートによる解釈	24
7	一般のスピン、フレーバーへの拡張	25
	7.1 ハドロンのスピンとフレーバー	25
	7.2 8 重項バリオンの散乱	26
	7.3 スピン 3/2 状態	27
		28

# 1 導入:核力、対称性、エンタングルメント

### 1.1 核子散乱

- 核子はスピンとアイソスピンの内部自由度を持つ
  - $\lambda \mathcal{C} \times 1/2 : |\uparrow\rangle, |\downarrow\rangle$
  - アイソスピン  $1/2:|p\rangle,|n\rangle$
- 1核子状態:4種類

$$|p\uparrow\rangle, \quad |p\downarrow\rangle, \quad |n\uparrow\rangle, \quad |n\downarrow\rangle$$
 (1)

● 2核子状態:16種類

$$|p \uparrow p \uparrow\rangle, \quad |p \uparrow p \downarrow\rangle, \quad |p \uparrow n \uparrow\rangle, \quad \cdots$$
 (2)

- 2 核子の散乱: さまざまな始状態・終状態の組み合わせが可能(16×16 = 256 種類)
- 対称性の要請
  - 特定の散乱の禁止:  $\sigma(p \uparrow p \uparrow \rightarrow p \uparrow p \downarrow) = 0$
  - 異なる散乱の間の関係:  $\sigma(p \uparrow p \uparrow \rightarrow p \uparrow p \uparrow) = \sigma(n \uparrow n \uparrow \rightarrow n \uparrow n \uparrow)$
  - → 少ない自由度で記述可能

#### 1.2 基礎理論の対称性と創発する対称性

- 基礎理論の対称性
  - スピン  $SU(2)_s \leftarrow QCD$  のスピン対称性と回転対称性
  - アイソスピン  $SU(2)_I \leftarrow QCD(u, d \rho_I \rho_I)$  のアイソスピン対称性

それぞれ独立な変換  $\rightarrow$  核力は  $SU(2)_S \times SU(2)_I$  **対称性**に従う

- $\bullet \ \mathrm{SU}(2)_S \times \mathrm{SU}(2)_I$  対称性  $\to s$  波の低エネルギー散乱は  ${\bf 2}$  つの成分のみで記述できる
  - スピンS = 0、アイソスピンI = 1 ( ${}^{1}S_{0}$ )
  - $\lambda \mathcal{L} \times S = 1$ ,  $\gamma \mathcal{L} \times I = 0$  ( $^{3}S_{1}$ )

ただし $SU(2)_S \times SU(2)_I$ 対称性のもとではS=0とS=1の散乱は独立でよい

#### • 現実の核力の性質

-S=0とS=1の性質が近い

$$1/|a_{S=0}| \sim 1/|a_{S=1}| \tag{3}$$

#### スピン・フレーバー SU(4) 対称性 □, □

- 散乱長がユニタリー極限(に近い)

$$|a_{S=0}|, |a_{S=1}| \gg 1/m_{\pi}$$
 (4)

#### 非相対論的共形対称性(シュレディンガー対称性) 「3]

基礎理論の対称性から直接導けない:創発する対称性 (emergent symmetry)

#### 1.3 状態、演算子のエンタングルメント

- 2スピン系のテンソル積状態 (product state):  $|\uparrow\uparrow\rangle = |\uparrow\rangle \otimes |\uparrow\rangle$  2 つのスピンが独立、スピン間に相関がない
- スピン 0 の状態(Bell state):  $|S=0\rangle = \frac{|\uparrow\downarrow\rangle |\downarrow\uparrow\rangle}{\sqrt{2}}$ 2 つのスピンが相関している
- エンタングルメント・エントロピー (EE):量子相関の度合いを定量化する尺度

$$\mathcal{E}(|\uparrow\uparrow\rangle) = 0$$
 相関なし, (5)

$$\mathcal{E}(|S=0\rangle) = \frac{1}{2}$$
 相関最大(線形エントロピーの場合の値) (6)

スピン間の相関が強い状態ほど EE が大きい

• ユニタリー演算子U:状態 $|\psi\rangle$ を別の状態 $|\phi\rangle$ に変換する

$$|\phi\rangle = U |\psi\rangle \tag{7}$$

 $\bullet$  エンタングルメント・パワー (EP) :演算子 U が相関を作り出す能力  $\square$ 

テンソル積状態 (無相関) にU を作用させた状態のEE の平均

### 1.4 エンタングルメント抑制

散乱 S 行列: 散乱位相差 δ の情報を含む

$$S = e^{2i\delta} \tag{9}$$

各チャンネル ( ${}^{1}S_{0}$ ,  ${}^{3}S_{1}$  など) ごとに散乱位相差  $\delta$ 

● 始状態 |in⟩ (散乱前) に作用して終状態 |out⟩ (散乱後) に変化させる**演算子** 

$$|\text{out}\rangle = S|\text{in}\rangle$$
 (10)

- $\rightarrow S$  行列の EP が定義できる
- エンタングルメント抑制 [5]

E(S) = 0と要請

- → 散乱位相差に条件が課せられる
- $\rightarrow$   $^{1}S_{0}$  と  $^{3}S_{1}$  の核子散乱に関係がつく
- → スピン・フレーバー SU(4) または非相対論的共形対称性
- 量子情報理論による解釈 [6]
  - スピン・フレーバー SU(4): S 行列が **Identity ゲート**に対応
  - 非相対論的共形対称性:S 行列が SWAP ゲートに対応

# 1.5 講義の目標、参考文献

- 核力の創発する対称性をエンタングルメント抑制から導出する
  - §☑ スピン 1/2 状態
  - 8 2 スピン系とエンタングルメント・エントロピー
  - 8四 古典相関と量子相関
  - № 散乱理論、S行列、エンタングルメント・パワー
  - § 核力とエンタングルメント抑制
  - № 一般のスピン、フレーバーへの拡張
- 参考文献:量子情報理論の教科書
  - 石坂智,小川朋宏,河内亮周,木村元,林正人「量子情報科学入門」第2版(共立出版, 2024).

- 細谷 曉夫 「量子と情報」 (裳華房, 2024).
- 佐川 弘幸, 吉田 宣章 「量子情報理論」 (丸善出版, 2019).
- Michael A. Nielsen, Isaac L. Chuang 「Quantum Computation and Quantum Information: 10th Anniversary Edition」 (Cambridge University Press, 2010).

#### • 原著論文

- 核力のエンタングルメント抑制 [b]
- 量子情報理論による解釈 [6]
- ハドロン物理への応用(Octet バリオン、少数系原子核、heavy メソン散乱とエキゾチックハドロン、スピン 3/2 バリオン Decuplet 散乱…) [□, □, □, □]
- 素粒子物理への応用 (Higgs セクター、電弱相転移、ニュートリノ...) [□], □2, □3, □4, □5]

# 2 スピン1/2状態

#### 2.1 状態の表現

● パウリスピノル (量子ビット、qubit):複素2成分ベクトル

$$|\psi\rangle = \begin{pmatrix} a \\ b \end{pmatrix}, \quad a, b \in \mathbb{C},$$
 (11)

$$\langle \psi | = |\psi\rangle^{\dagger} = \begin{pmatrix} a^* & b^* \end{pmatrix} \tag{12}$$

条件がなければ Re a, Im a, Re b, Im b,  $\mathcal{O}$  4 自由度 ( $\mathcal{H} = \mathbb{C}^2$ )

• 規格化条件と波動関数の位相

$$\langle \psi | \psi \rangle = 1 \quad \Rightarrow \quad |a|^2 + |b|^2 = 1 \tag{13}$$

位相変換は期待値を変えない

- $\rightarrow$  規格化条件を課し位相の自由度を除くと、 $|\psi\rangle$  は **2 自由度** (斜線) で表現できる
- ブロッホ球による表示

$$|\theta,\phi\rangle = \begin{pmatrix} \cos\frac{\theta}{2} \\ \sin\frac{\theta}{2}e^{i\phi} \end{pmatrix} \tag{14}$$

2 自由度 θ, φ ∈ ℝ は 3 次元極座標の角度

• Fubini-Study measure (1/2 より大きなスピン状態にも一般化可能) 規格化と位相の自由度を除く: $\mathbb{C}^2$  を複素定数倍の同値関係で割った商空間  $\mathbb{C}^2$  の斜線  $\sim \mathbb{CP}^1$  (複素射影空間)

$$|\theta_1, \nu_1\rangle = \begin{pmatrix} \cos \theta_1 \\ \sin \theta_1 e^{i\nu_1} \end{pmatrix} \tag{15}$$

2自由度 $\theta_1, \nu_1$ 

スピン演算子 s: 複素 2 成分行列、パウリ行列 σで表現

$$s = \frac{\sigma}{2}, \quad \sigma_x = \begin{pmatrix} 0 & 1 \\ 1 & 0 \end{pmatrix}, \quad \sigma_y = \begin{pmatrix} 0 & -i \\ i & 0 \end{pmatrix}, \quad \sigma_z = \begin{pmatrix} 1 & 0 \\ 0 & -1 \end{pmatrix}$$
 (16)

(量子情報分野では  $\sigma_x = X$ ,  $\sigma_y = Y$ ,  $\sigma_z = Z$ )

s₂の固有状態

$$|\uparrow\rangle = \begin{pmatrix} 1\\0 \end{pmatrix}, \quad |\downarrow\rangle = \begin{pmatrix} 0\\1 \end{pmatrix}, \tag{17}$$

$$s_z |\uparrow\rangle = \frac{1}{2} |\uparrow\rangle, \quad s_z |\downarrow\rangle = -\frac{1}{2} |\downarrow\rangle$$
 (18)

(量子情報分野では  $|\uparrow\rangle = |0\rangle, |\downarrow\rangle = |1\rangle$ )

•  $s_x, s_y$  の固有状態

$$|\xi_0\rangle = \frac{1}{\sqrt{2}} \begin{pmatrix} 1\\1 \end{pmatrix}, \quad |\xi_1\rangle = \frac{1}{\sqrt{2}} \begin{pmatrix} 1\\-1 \end{pmatrix},$$
 (19)

$$s_x |\xi_0\rangle = \frac{1}{2} |\xi_0\rangle, \quad s_x |\xi_1\rangle = -\frac{1}{2} |\xi_1\rangle,$$
 (20)

$$|\eta_0\rangle = \frac{1}{\sqrt{2}} \begin{pmatrix} 1\\i \end{pmatrix}, \quad |\eta_1\rangle = \frac{1}{\sqrt{2}} \begin{pmatrix} 1\\-i \end{pmatrix},$$
 (21)

$$s_y |\eta_0\rangle = \frac{1}{2} |\eta_0\rangle, \quad s_y |\eta_1\rangle = -\frac{1}{2} |\eta_1\rangle$$
 (22)

(量子情報分野では  $|\xi_0\rangle=|+\rangle, \, |\xi_1\rangle=|-\rangle$ )

• 完全正規直交系 (CONS)  $\{\psi_i\}$ 

$$\langle \psi_i | \psi_j \rangle = \delta_{ij}, \quad \sum_i |\psi_i\rangle \langle \psi_i| = 1$$
 (23)

エルミート行列の固有ベクトルは CONS を構成する例)  $\{|\uparrow\rangle, |\downarrow\rangle\}$ 、計算基底 (computational basis) と呼ばれる

• 任意の状態は CONS で展開できる

$$|\xi_0\rangle = \frac{1}{\sqrt{2}}|\uparrow\rangle + \frac{1}{\sqrt{2}}|\downarrow\rangle,$$
 (24)

$$|\psi\rangle = \begin{pmatrix} a \\ b \end{pmatrix} = a |\uparrow\rangle + b |\downarrow\rangle \tag{25}$$

展開係数は内積で与えられる

$$a = \langle \uparrow | \psi \rangle, \quad b = \langle \downarrow | \psi \rangle$$
 (26)

#### 2.2 密度行列

状態 |ψ⟩ に対応する密度行列(密度演算子)ρ

$$\rho = |\psi\rangle\langle\psi| \tag{27}$$

• 演算子Oのトレース:任意の $CONS\{|\psi_i\rangle\}$ による行列要素の対角成分の和

$$Tr[O] = \sum_{i} \langle \psi_i | O | \psi_i \rangle \tag{28}$$

結果は CONS の選び方によらない

• 状態の規格化

$$\operatorname{Tr}\left[\rho\right] = \sum_{i} \left\langle \psi_{i} | \psi \right\rangle \left\langle \psi | \psi_{i} \right\rangle = \sum_{i} \left\langle \psi | \psi_{i} \right\rangle \left\langle \psi_{i} | \psi \right\rangle = \left\langle \psi | \psi \right\rangle$$

$$= 1 \tag{29}$$

演算子 Q の期待値

$$\langle \psi | O | \psi \rangle = \text{Tr} [O \rho] \tag{30}$$

• 例)式 ( $\square$ ) のブロッホ球表示の状態  $\rho = |\theta, \phi\rangle\langle\theta, \phi|$  のパウリ行列の期待値

$$Tr\left[\sigma_x\rho\right] = \sin\theta\cos\phi\tag{31}$$

$$Tr\left[\sigma_{y}\rho\right] = \sin\phi\sin\phi\tag{32}$$

$$Tr\left[\sigma_z\rho\right] = \cos\theta \tag{33}$$

半径1の球面上の点の極座標表示

### 2.3 状態の変換(量子ゲート)

● ユニタリー演算子 U

$$U^{\dagger}U = UU^{\dagger} = 1, \quad U^{\dagger} = U^{-1} \tag{34}$$

パウリ行列は全てエルミートかつユニタリー

• U は状態  $|\psi\rangle$  を  $|\phi\rangle$  に変換:qubit を操作する量子ゲート

$$|\phi\rangle = U|\psi\rangle \tag{35}$$

• ユニタリー変換の下でノルム(確率)が保存

$$\langle \phi | \phi \rangle = \langle \psi | U^{\dagger} U | \psi \rangle = \langle \psi | \psi \rangle \tag{36}$$

系の時間発展はユニタリー演算子で表される

Xゲート

$$\sigma_x |\uparrow\rangle = |\downarrow\rangle, \quad \sigma_x |\downarrow\rangle = |\uparrow\rangle$$
 (37)

上向きと下向きを入れ替える(古典論理の NOT ゲート)

● アダマール (Hadamard) ゲート

$$H = \frac{\sigma_x + \sigma_z}{\sqrt{2}} = \frac{1}{\sqrt{2}} \begin{pmatrix} 1 & 1\\ 1 & -1 \end{pmatrix} \tag{38}$$

$$H |\uparrow\rangle = |\xi_0\rangle, \quad H |\downarrow\rangle = |\xi_1\rangle,$$
 (39)

$$H|\xi_0\rangle = |\uparrow\rangle, \quad H|\xi_1\rangle = |\downarrow\rangle$$
 (40)

z軸とx軸の中間  $(1,0,1)/\sqrt{2}$  を軸とする  $180^{\circ}$  回転

### 2.4 射影測定

- 物理量はエルミート演算子で表現される
- エルミート行列 O はユニタリー行列 U で対角化可能

$$U^{-1}OU = \begin{pmatrix} \lambda_1 & 0 & \cdots \\ 0 & \lambda_2 & \cdots \\ \vdots & \vdots & \ddots \end{pmatrix}, \quad \lambda_i \in \mathbb{R}$$

$$(41)$$

スペクトル分解: O を対角化する CONS {|i⟩} による表現

$$O = \sum_{i} \lambda_{i} |i\rangle \langle i| \tag{42}$$

固有値 $\lambda_i$ の状態への射影演算子 $P_i$ 

$$P_i = |i\rangle\langle i|, \quad P_i P_j = \delta_{ij} P_i, \quad \sum_i P_i = 1$$
 (43)

状態 |ψ⟩ の |i⟩ による展開

$$|\psi\rangle = \sum_{i} |i\rangle \langle i|\psi\rangle = \sum_{i} C_{i} |i\rangle, \quad C_{i} = \langle i|\psi\rangle$$
 (44)

ずルン則:物理量 ○ を測定すると確率的にいずれかの状態 |i⟩ に遷移

$$|\psi\rangle \to |i\rangle = \frac{P_i |\psi\rangle}{\|P_i |\psi\rangle\|} \tag{45}$$

|i| が選ばれる確率:展開係数の絶対値二乗、射影演算子の期待値

$$Pr(i) = |C_i|^2 = |\langle i|\psi\rangle|^2 = Tr[P_i \rho]$$
(46)

•  $O = s_z$  の場合:CONS は  $\{|\uparrow\rangle, |\downarrow\rangle\}$ 

$$P_{\uparrow} = |\uparrow\rangle \langle\uparrow| = \begin{pmatrix} 1 & 0 \\ 0 & 0 \end{pmatrix}, \quad P_{\downarrow} = |\downarrow\rangle \langle\downarrow| = \begin{pmatrix} 0 & 0 \\ 0 & 1 \end{pmatrix} \tag{47}$$

$$\Pr(\uparrow) = |\langle \uparrow | \psi \rangle|^2 = \operatorname{Tr} \left[ P_{\uparrow} \rho \right] \tag{48}$$

#### 問題1

- 1\*) 式 (四) を示せ。
- 2\*) 式 (四) を示せ。
- 3\*) 式 (四) を示せ。
- $4^*$ )  $H|\eta_0\rangle$  を $|\eta_1\rangle$  を用いて表せ。

# 3 2スピン系とエンタングルメント・エントロピー

### 3.1 2スピン状態と全スピン

- スピンAとスピンBの合成系 $\mathcal{H} = \mathcal{H}_A \otimes \mathcal{H}_B$  (量子情報分野ではAlice  $\mathcal{E}$  Bob の 2-qubit 系)
- テンソル積状態

$$|\uparrow\uparrow\rangle = |\uparrow_A\rangle \otimes |\uparrow_B\rangle \,, \quad |\uparrow\downarrow\rangle \,, \quad |\downarrow\downarrow\rangle$$
 (49)

• 各スピンの演算子

$$\mathbf{s}_A = \mathbf{s} \otimes \mathbf{1}, \quad \mathbf{s}_B = 1 \otimes \mathbf{s}$$
 (50)

• 演算子の作用

$$(s_A)_z |\uparrow\uparrow\rangle = \frac{1}{2} |\uparrow\uparrow\rangle, \quad \dots$$
 (51)

全スピン演算子 S

$$S = s_A + s_B \tag{52}$$

• S の固有状態:スピンの大きさ S=0,1 と z 成分  $S_z$  で指定

スピン演算子の作用

$$S_z |1, -1\rangle = -|1, -1\rangle, \quad \mathbf{S}^2 |1, -1\rangle = S(S+1) |1, -1\rangle = 2 |1, -1\rangle, \quad \dots$$
 (54)

### 3.2 クロネッカー積

★態のクロネッカー積:テンソル積状態を4成分ベクトルで表現

$$|\uparrow\uparrow\rangle = \begin{pmatrix} 1\\0 \end{pmatrix} \otimes \begin{pmatrix} 1\\0 \end{pmatrix} = \begin{pmatrix} 1 \times \begin{pmatrix} 1\\0\\0 \\ 0 \times \begin{pmatrix} 1\\0\\0 \end{pmatrix} \end{pmatrix} = \begin{pmatrix} 1\\0\\0\\0 \end{pmatrix}, \tag{55}$$

$$|\uparrow\downarrow\rangle = \begin{pmatrix} 0\\1\\0\\0 \end{pmatrix}, \quad |\downarrow\uparrow\rangle = \begin{pmatrix} 0\\0\\1\\0 \end{pmatrix}, \quad |\downarrow\downarrow\rangle = \begin{pmatrix} 0\\0\\0\\1 \end{pmatrix} \tag{56}$$

$$(s_{A})_{x} = s_{x} \otimes 1 = \frac{1}{2} \begin{pmatrix} 0 & 1 \\ 1 & 0 \end{pmatrix} \otimes \begin{pmatrix} 1 & 0 \\ 0 & 1 \end{pmatrix}$$

$$= \frac{1}{2} \begin{pmatrix} 0 \times \begin{pmatrix} 1 & 0 \\ 0 & 1 \end{pmatrix} & 1 \times \begin{pmatrix} 1 & 0 \\ 0 & 1 \end{pmatrix} \\ 1 \times \begin{pmatrix} 1 & 0 \\ 0 & 1 \end{pmatrix} & 0 \times \begin{pmatrix} 1 & 0 \\ 0 & 1 \end{pmatrix} \end{pmatrix} = \frac{1}{2} \begin{pmatrix} 0 & 0 & 1 & 0 \\ 0 & 0 & 0 & 1 \\ 1 & 0 & 0 & 0 \\ 0 & 1 & 0 & 0 \end{pmatrix}$$

$$s_{x} \otimes s_{x} = \frac{1}{2} \begin{pmatrix} 0 & 1 \\ 1 & 0 \end{pmatrix} \otimes \frac{1}{2} \begin{pmatrix} 0 & 1 \\ 1 & 0 \end{pmatrix}$$

$$(57)$$

$$= \frac{1}{4} \begin{pmatrix} 0 \times \begin{pmatrix} 0 & 1 \\ 1 & 0 \end{pmatrix} & 1 \times \begin{pmatrix} 0 & 1 \\ 1 & 0 \end{pmatrix} \\ 1 \times \begin{pmatrix} 0 & 1 \\ 1 & 0 \end{pmatrix} & 0 \times \begin{pmatrix} 0 & 1 \\ 1 & 0 \end{pmatrix} \end{pmatrix} = \frac{1}{4} \begin{pmatrix} 0 & 0 & 0 & 1 \\ 0 & 0 & 1 & 0 \\ 0 & 1 & 0 & 0 \\ 1 & 0 & 0 & 0 \end{pmatrix}$$
 (58)

• テンソル積状態の密度行列

$$\begin{pmatrix}
1 & 0 & 0 & 0 \\
0 & 0 & 0 & 0 \\
0 & 0 & 0 & 0 \\
0 & 0 & 0 & 0
\end{pmatrix} = |\uparrow\uparrow\rangle \langle\uparrow\uparrow| = |\uparrow\uparrow\rangle \langle\uparrow\uparrow| \otimes |\uparrow\uparrow\rangle \langle\uparrow\uparrow| = \begin{pmatrix} 1 & 0 \\ 0 & 0 \end{pmatrix} \otimes \begin{pmatrix} 1 & 0 \\ 0 & 0 \end{pmatrix}$$
(59)

### 3.3 完全正規直交系

計算基底: {|↑↑⟩, |↑↓⟩, |↓↑⟩, |↓↓⟩}

• Bell 基底:  $\{|\Phi^+\rangle, |\Phi^-\rangle, |\Psi^+\rangle, |\Psi^-\rangle\}$ 

$$|\Phi^{\pm}\rangle = \frac{|\uparrow\uparrow\rangle \pm |\downarrow\downarrow\rangle}{\sqrt{2}}$$
 (全スピン  $S$  の固有状態ではない) (60)

$$|\Psi^{\pm}\rangle = \frac{|\uparrow\downarrow\rangle \pm |\downarrow\uparrow\rangle}{\sqrt{2}} \quad (S_z = 0 \, \text{で} \, S = 1 \, \text{および} \, S = 0 \, \text{の状態})$$
 (61)

一般の2スピン状態(C⁴のベクトル)

$$|\Psi\rangle = \alpha |\uparrow\uparrow\rangle + \beta |\uparrow\downarrow\rangle + \gamma |\downarrow\uparrow\rangle + \delta |\downarrow\downarrow\rangle = \begin{pmatrix} \alpha \\ \beta \\ \gamma \\ \delta \end{pmatrix}$$
(62)

規格化

$$|\alpha|^2 + |\beta|^2 + |\gamma|^2 + |\delta|^2 = 1 \tag{63}$$

### 3.4 相関の指標

- 相関を定量化する指標(「相関」については第四節で詳しく)
- エンタングルメント・エントロピー (von Neumann エントロピー)

$$\mathcal{E}_{\text{vN}} = -\text{Tr}_A \left[ \rho_A \ln \rho_A \right] = -\text{Tr}_B \left[ \rho_B \ln \rho_B \right] \tag{64}$$

• 縮約密度行列:式(52)の一般の状態について

$$\rho_A = \operatorname{Tr}_B \left[ \rho \right] = \begin{pmatrix} |\alpha|^2 + |\beta|^2 & \alpha \gamma^* + \beta \delta^* \\ \alpha^* \gamma + \beta^* \delta & |\gamma|^2 + |\delta|^2 \end{pmatrix}$$
(65)

スピン B についての**部分トレース**:  $\mathcal{H}_A$  の密度行列を与える

$$\operatorname{Tr}_{B}\left[\rho\right] = \sum_{i} (1 \otimes \langle \psi_{i} |) \ \rho \ (1 \otimes |\psi_{i} \rangle) \tag{66}$$

 $\rho = \rho_a \otimes \rho_b$  の場合

$$\operatorname{Tr}_{B}\left[\rho_{a}\otimes\rho_{b}\right]=\rho_{a}\operatorname{Tr}\left[\rho_{b}\right] \tag{67}$$

• 線形エントロピー  $(\ln \rho_A = \ln[1 + (\rho_A - 1)] = \rho_A - 1 + \cdots)$ 

$$\mathcal{E} = 1 - \text{Tr}_A \left[ \rho_A^2 \right] \tag{68}$$

• Concurrence [16, 17]

$$\Delta = |\langle \Psi | \sigma_y \otimes \sigma_y | \Psi^* \rangle| = 2|\alpha \delta - \beta \gamma| \tag{69}$$

 $\rho_A$ を用いて定義される任意のエンタングルメント指標は $\Delta$ で表現できる:

$$\mathcal{E}_{\text{vN}} = -\lambda_{+} \ln \lambda_{+} - \lambda_{-} \ln \lambda_{-}, \quad \lambda_{\pm} = \frac{1}{2} (1 \pm \sqrt{1 - \Delta^{2}}), \tag{70}$$

$$\mathcal{E} = \frac{1}{2}\Delta^2 = 2|\alpha\delta - \beta\gamma|^2 \tag{71}$$

• **テンソル積状態** |↑↓⟩ のエンタングルメント

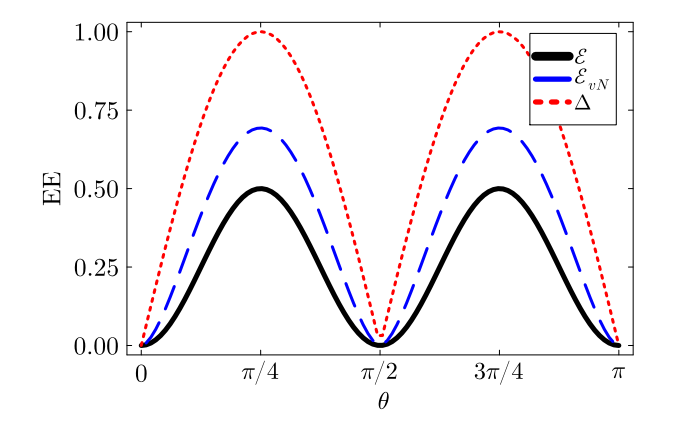
$$\beta = 1, \quad \alpha = \gamma = \delta = 0, \tag{72}$$

$$\Delta = 0, \tag{73}$$

$$\mathcal{E} = 0, \tag{74}$$

$$\lambda_{+} = 1, \quad \lambda_{-} = 0 \quad \Rightarrow \quad \mathcal{E}_{vN} = 0$$
 (75)

どの指標でも ()



$\theta$	0	$\pi/4$	$\pi/2$	$3\pi/4$
$ \psi\rangle$	$ \uparrow\downarrow\rangle$	$ \Psi^{+}\rangle$	$ \downarrow\uparrow\rangle$	$-\ket{\Psi^-}$
$\mathcal{E}$	0	1/2	0	1/2
$\mathcal{E}_{ ext{vN}}$	0	$\ln 2$	0	$\ln 2$
$\Delta$	0	1	0	1

図 1: 状態 (M) の線形エントロピー  $\mathcal{E}$ 、フォンノイマンエントロピー  $\mathcal{E}_{vN}$ 、Concurrence  $\Delta$ 。

• Bell 状態  $|\Psi^+\rangle$  のエンタングルメント

$$\alpha = \delta = 0, \quad \beta = \gamma = \frac{1}{\sqrt{2}},\tag{76}$$

$$\Delta = 1, \tag{77}$$

$$\mathcal{E} = \frac{1}{2},\tag{78}$$

$$\lambda_{+} = \frac{1}{2}, \quad \lambda_{-} = \frac{1}{2} \quad \Rightarrow \quad \mathcal{E}_{vN} = \ln 2 \sim 0.693$$
 (79)

1 ebit (エンタングルメント・ビット)、エンタングルメントの基本単位

• 一般の線形結合の状態

$$|\psi\rangle = \cos\theta \,|\!\uparrow\downarrow\rangle + \sin\theta \,|\!\downarrow\uparrow\rangle \tag{80}$$

図 $\square$ :  $\mathcal{E}$ 、 $\mathcal{E}_{vN}$ 、 $\Delta$  の比較

• テンソル積状態 ( $\theta = 0, \pi/2$ ) で全て 0、Bell 状態 ( $\theta = \pi/4, 3\pi/4$ ) で最大

#### 問題2

- 1\*) 式(四)を示せ。
- 2) 式 ( ${f \Box}$ ) を示せ。ただし  $|\Psi^*\rangle$  は  $|\Psi\rangle$  の複素共役を成分に持つ縦ベクトルである。
- 3) 式 (四) を示せ。
- 4) 式 (四) を示せ。

# 4 古典相関と量子相関

#### 4.1 純粋状態と混合状態

純粋状態:1つの状態 |ψ⟩ のみを用いて密度行列が表現される

$$\rho = |\psi\rangle\langle\psi| \tag{81}$$

性質 (idempotent)

$$\rho^{2} = |\psi\rangle \underbrace{\langle\psi|\psi\rangle}_{=1} \langle\psi| = |\psi\rangle \langle\psi| = \rho, \tag{82}$$

$$\operatorname{Tr}\left[\rho^{2}\right] = \operatorname{Tr}\left[\rho\right] = 1 \tag{83}$$

• 混合状態:密度行列が実数の重み $0 \le p_i \le 1$ で和を取られている状況

$$\rho = \sum_{i} p_{i} |\phi_{i}\rangle \langle \phi_{i}|, \quad \sum_{i} p_{i} = 1, \quad \langle \phi_{i} | \phi_{i}\rangle = 1$$
(84)

 $|\phi_i
angle$  は規格化されているが必ずしも直交していなくても良い

確率  $p_i$  で状態  $|\phi_i\rangle$  を用意した「状態の集まり」(J.J. Sakurai では「混合アンサンブル」)

Bell状態のような「状態の重ね合わせ」とは異なる

混合状態の表現は一意的でない(シュレディンガーの混合定理)

• 混合状態は規格化されているが  $\rho^2 \neq \rho$ 

$$\operatorname{Tr}\left[\rho\right] = \sum_{i} p_{i} \operatorname{Tr}\left[\left|\phi_{i}\right\rangle \left\langle \phi_{i}\right|\right] = \sum_{i} p_{i} = 1, \tag{85}$$

$$\rho^{2} = \sum_{i,j} p_{i} p_{j} |\phi_{i}\rangle \langle \phi_{i} | \phi_{j}\rangle \langle \phi_{j} | \neq \rho$$
(86)

• **混合度**:混合状態の純粋状態からの「距離」を定量化

$$\mu = 1 - \operatorname{Tr}\left[\rho^2\right], \quad \underbrace{0}_{\text{\'et}\text{\'et}\text{\'et}} \le \mu \le \underbrace{1 - \frac{1}{N}}_{\text{\'et}\text{\'et}\text{\'et}}$$

$$\tag{87}$$

N はヒルベルト空間の次元

• 1スピン系の場合の例

$$|\uparrow\rangle\langle\uparrow| = \begin{pmatrix} 1 & 0 \\ 0 & 0 \end{pmatrix}, \quad (純粋状態) \tag{88}$$

$$\frac{1}{2} |\uparrow\rangle \langle\uparrow| + \frac{1}{2} |\downarrow\rangle \langle\downarrow| = \begin{pmatrix} 1/2 & 0\\ 0 & 1/2 \end{pmatrix}, \quad (混合状態) \tag{89}$$

### 4.2 2 スピン間の相関

• 2スピン系の**測定**:2スピン系の状態  $|\psi\rangle$  のスピン A とスピン B 両方の  $s_z$  を測定 A、B 両方上向き状態を得る確率

$$\Pr(\uparrow\uparrow) = |\langle\uparrow\uparrow|\psi\rangle|^2 = \operatorname{Tr}\left[P_{\uparrow\uparrow}\rho\right], \quad P_{\uparrow\uparrow} = P_{\uparrow} \otimes P_{\uparrow} \tag{90}$$

状態の変化

$$|\psi\rangle \to |\uparrow\uparrow\rangle = \frac{P_{\uparrow\uparrow} |\psi\rangle}{\|P_{\uparrow\uparrow} |\psi\rangle\|} \tag{91}$$

• 以下の密度行列を考える:

$$\rho_p = |\uparrow\uparrow\rangle\langle\uparrow\uparrow|$$
 (テンソル積状態の純粋状態), (92)

$$\rho_m = \frac{1}{2} |\uparrow\uparrow\rangle \langle\uparrow\uparrow| + \frac{1}{2} |\downarrow\downarrow\rangle \langle\downarrow\downarrow| \quad (混合状態), \tag{93}$$

$$\rho_e = |\Phi^+\rangle \langle \Phi^+| = \frac{|\uparrow\uparrow\rangle + |\downarrow\downarrow\rangle}{\sqrt{2}} \frac{\langle\uparrow\uparrow| + \langle\downarrow\downarrow|}{\sqrt{2}} \quad (Bell 状態の純粋状態)$$
 (94)

全て「スピンAが上向きならスピンBも上向き」という相関?

- z方向のスピンの測定
  - $\rho_p$  の場合: $|\psi\rangle = |\uparrow\uparrow\rangle$  なので

$$\Pr(\uparrow\uparrow) = |\langle\uparrow\uparrow|\uparrow\uparrow\rangle|^2 = 1, \quad \Pr(\uparrow\downarrow) = |\langle\uparrow\downarrow|\uparrow\uparrow\rangle|^2 = 0, \quad \cdots$$
 (95)

-  $\rho_m$  の場合:

$$\Pr(\uparrow\uparrow) = \operatorname{Tr}\left[P_{\uparrow\uparrow}\rho_m\right] = \langle\uparrow\uparrow|\left(\frac{1}{2}|\uparrow\uparrow\rangle\langle\uparrow\uparrow| + \frac{1}{2}|\downarrow\downarrow\rangle\langle\downarrow\downarrow|\right)|\uparrow\uparrow\rangle = \frac{1}{2},\tag{96}$$

$$\Pr(\uparrow\downarrow) = \operatorname{Tr}\left[P_{\uparrow\downarrow}\rho_m\right] = \langle\uparrow\downarrow| \left(\frac{1}{2}|\uparrow\uparrow\rangle \langle\uparrow\uparrow| + \frac{1}{2}|\downarrow\downarrow\rangle \langle\downarrow\downarrow|\right) |\uparrow\downarrow\rangle = 0, \quad \cdots$$
 (97)

-  $\rho_e$  の場合: $|\psi\rangle = |\Phi^+\rangle$  なので

$$\Pr(\uparrow\uparrow) = |\langle\uparrow\uparrow|\Phi^{+}\rangle|^{2} = \left|\frac{1}{\sqrt{2}}\right|^{2} = \frac{1}{2}, \quad \Pr(\uparrow\downarrow) = |\langle\uparrow\downarrow|\Phi^{+}\rangle|^{2} = 0, \quad \cdots$$
 (98)

- x 方向のスピンの測定("+" =  $\xi_0$ , "-" =  $\xi_1$ )
  - ρ<sub>n</sub> の場合:式(四)より

$$|++\rangle = \left(\frac{|\uparrow\rangle + |\downarrow\rangle}{\sqrt{2}}\right) \otimes \left(\frac{|\uparrow\rangle + |\downarrow\rangle}{\sqrt{2}}\right) = \frac{1}{2} \left(|\uparrow\uparrow\rangle + |\uparrow\downarrow\rangle + |\downarrow\uparrow\rangle + |\downarrow\downarrow\rangle\right) \tag{99}$$

なので

$$\Pr(++) = |\langle ++|\uparrow\uparrow\rangle|^2 = \left|\frac{1}{2}\right|^2 = \frac{1}{4},\tag{100}$$

$$\Pr(+-) = |\langle +-|\uparrow\uparrow\rangle|^2 = \left|\frac{1}{2}\right|^2 = \frac{1}{4}, \quad \cdots$$
 (101)

-  $\rho_m$  の場合:

$$\Pr(++) = \operatorname{Tr}\left[P_{++}\rho_{m}\right] = \langle ++\left|\left(\frac{1}{2}\left|\uparrow\uparrow\right\rangle\left\langle\uparrow\uparrow\right| + \frac{1}{2}\left|\downarrow\downarrow\right\rangle\left\langle\downarrow\downarrow\right|\right)|++\rangle$$

$$= \frac{1}{2}\frac{1}{2}\frac{1}{2} + \frac{1}{2}\frac{1}{2}\frac{1}{2} = \frac{1}{4}, \quad \cdots$$
(102)

-  $\rho_e$  の場合:

$$|\Phi^{+}\rangle = \frac{|\uparrow\uparrow\rangle + |\downarrow\downarrow\rangle}{\sqrt{2}} = \frac{1}{\sqrt{2}} \begin{pmatrix} 1\\0\\0\\1 \end{pmatrix}, \tag{103}$$

$$\frac{|++\rangle + |--\rangle}{\sqrt{2}} = \frac{1}{\sqrt{2}} \begin{pmatrix} 1/\sqrt{2} \\ 1/\sqrt{2} \\ 1/\sqrt{2} \\ 1/\sqrt{2} \\ 1/\sqrt{2} \end{pmatrix} + \frac{1}{\sqrt{2}} \begin{pmatrix} 1/\sqrt{2} \\ -1/\sqrt{2} \\ -1/\sqrt{2} \\ -1/\sqrt{2} \end{pmatrix}$$

$$= \frac{1}{\sqrt{2}} \begin{pmatrix} 1/2 + 1/2 \\ 1/2 - 1/2 \\ 1/2 - 1/2 \\ 1/2 + 1/2 \end{pmatrix} = \frac{1}{\sqrt{2}} \begin{pmatrix} 1 \\ 0 \\ 0 \\ 1 \end{pmatrix} = |\Phi^{+}\rangle$$
 (104)

つまり  $|\Phi^+\rangle$  は x 方向の基底でも Bell 状態になっている

$$\rho_e = \left(\frac{|++\rangle + |--\rangle}{\sqrt{2}}\right) \left(\frac{\langle ++|+\langle --|}{\sqrt{2}}\right) \tag{105}$$

この場合  $(\uparrow,\downarrow) \leftrightarrow (+,-)$  と読み替えれば z 方向と同じ計算なので、確率は

$$\Pr(++) = \Pr(\uparrow \uparrow) = \frac{1}{2}, \quad \Pr(+-) = \Pr(\uparrow \downarrow) = 0, \quad \cdots$$
 (106)

- 結果のまとめ(表□)
  - $-\rho_p: z$  上向きのみでスピンが揃う、x 方向は全ての状態がランダム(逆向きも出る)
  - $-\rho_m$ :z 上向き、下向き両方でスピンが揃う、x 方向は全ての状態がランダム(逆向きも出る)
  - $\rho_e$ : z 方向、x 方向、上向き、下向き全ての場合にスピンが揃う。
- ρ<sub>m</sub> と ρ<sub>e</sub> の違い:

$$\rho_{e} = \frac{1}{2} |\uparrow\uparrow\rangle \langle\uparrow\uparrow| + \frac{1}{2} |\uparrow\uparrow\rangle \langle\downarrow\downarrow| + \frac{1}{2} |\downarrow\downarrow\rangle \langle\uparrow\uparrow| + \frac{1}{2} |\downarrow\downarrow\rangle \langle\downarrow\downarrow|$$

$$= \rho_{m} + \frac{1}{2} |\uparrow\uparrow\rangle \langle\downarrow\downarrow| + \frac{1}{2} |\downarrow\downarrow\rangle \langle\uparrow\uparrow|$$

$$= \rho_{m} + \frac{1}{2} |\uparrow\uparrow\rangle \langle\downarrow\downarrow| + \frac{1}{2} |\downarrow\downarrow\rangle \langle\uparrow\uparrow|$$

$$= \rho_{m} + \frac{1}{2} |\uparrow\uparrow\rangle \langle\downarrow\downarrow| + \frac{1}{2} |\downarrow\downarrow\rangle \langle\uparrow\uparrow|$$

$$= \rho_{m} + \frac{1}{2} |\uparrow\uparrow\rangle \langle\downarrow\downarrow| + \frac{1}{2} |\downarrow\downarrow\rangle \langle\uparrow\uparrow|$$

$$= \rho_{m} + \frac{1}{2} |\uparrow\uparrow\rangle \langle\downarrow\downarrow| + \frac{1}{2} |\downarrow\downarrow\rangle \langle\uparrow\uparrow|$$

$$= \rho_{m} + \frac{1}{2} |\uparrow\uparrow\rangle \langle\downarrow\downarrow| + \frac{1}{2} |\downarrow\downarrow\rangle \langle\uparrow\uparrow|$$

$$= \rho_{m} + \frac{1}{2} |\uparrow\uparrow\rangle \langle\downarrow\downarrow| + \frac{1}{2} |\downarrow\downarrow\rangle \langle\uparrow\uparrow|$$

$$= \rho_{m} + \frac{1}{2} |\uparrow\uparrow\rangle \langle\downarrow\downarrow| + \frac{1}{2} |\downarrow\downarrow\rangle \langle\uparrow\uparrow|$$

$$= \rho_{m} + \frac{1}{2} |\uparrow\uparrow\rangle \langle\downarrow\downarrow| + \frac{1}{2} |\downarrow\downarrow\rangle \langle\uparrow\uparrow|$$

$$= \rho_{m} + \frac{1}{2} |\uparrow\uparrow\rangle \langle\downarrow\downarrow| + \frac{1}{2} |\downarrow\downarrow\rangle \langle\uparrow\uparrow|$$

$$= \rho_{m} + \frac{1}{2} |\uparrow\uparrow\rangle \langle\downarrow\downarrow| + \frac{1}{2} |\downarrow\downarrow\rangle \langle\uparrow\uparrow|$$

$$= \rho_{m} + \frac{1}{2} |\uparrow\uparrow\rangle \langle\downarrow\downarrow| + \frac{1}{2} |\downarrow\downarrow\rangle \langle\uparrow\uparrow|$$

$$= \rho_{m} + \frac{1}{2} |\uparrow\uparrow\rangle \langle\downarrow\downarrow| + \frac{1}{2} |\downarrow\downarrow\rangle \langle\uparrow\uparrow|$$

$$= \rho_{m} + \frac{1}{2} |\downarrow\uparrow\rangle \langle\downarrow\downarrow| + \frac{1}{2} |\downarrow\downarrow\rangle \langle\uparrow\uparrow|$$

$$= \rho_{m} + \frac{1}{2} |\downarrow\uparrow\rangle \langle\downarrow\downarrow| + \frac{1}{2} |\downarrow\downarrow\rangle \langle\uparrow\uparrow|$$

$$= \rho_{m} + \frac{1}{2} |\downarrow\uparrow\rangle \langle\downarrow\downarrow| + \frac{1}{2} |\downarrow\downarrow\rangle \langle\uparrow\uparrow|$$

$$= \rho_{m} + \frac{1}{2} |\downarrow\downarrow\rangle \langle\downarrow\uparrow| + \frac{1}{2} |\downarrow\downarrow\rangle \langle\uparrow\uparrow|$$

$$= \rho_{m} + \frac{1}{2} |\downarrow\downarrow\rangle \langle\downarrow\downarrow| + \frac{1}{2} |\downarrow\downarrow\rangle \langle\uparrow\uparrow|$$

$$= \rho_{m} + \frac{1}{2} |\downarrow\downarrow\rangle \langle\downarrow\downarrow| + \frac{1}{2} |\downarrow\downarrow\rangle \langle\uparrow\uparrow|$$

$$= \rho_{m} + \frac{1}{2} |\downarrow\downarrow\rangle \langle\downarrow\downarrow| + \frac{1}{2} |\downarrow\downarrow\rangle \langle\downarrow\uparrow| + \frac{1}{2} |\downarrow\downarrow\rangle \langle\uparrow\uparrow| + \frac{1}{2} |\downarrow\downarrow\rangle \langle\downarrow\uparrow| + \frac{1}{2} |\downarrow\downarrow\rangle \langle\downarrow\downarrow| + \frac{1}{2} |\downarrow\downarrow\rangle \langle\downarrow\uparrow| + \frac{1}{2} |\downarrow\downarrow\rangle \langle\downarrow\downarrow| + \frac{1}{2} |\downarrow\downarrow\rangle \langle\downarrow\uparrow| + \frac{1}{2} |\downarrow\downarrow\rangle \langle\downarrow\uparrow| + \frac{1}{2} |\downarrow\downarrow\rangle \langle\downarrow\uparrow| + \frac{1}{2} |\downarrow\downarrow\rangle \langle\downarrow\uparrow| + \frac{1}{2} |\downarrow\downarrow\rangle \langle\downarrow\downarrow| + \frac{1}{2} |\downarrow\downarrow\rangle \langle\downarrow\downarrow$$

 $\rho_e$ :状態  $|\psi\rangle$  の複素数の重みによるコヒーレントな重ね合わせ:量子相関

 $\rho_m$ : 実数の重みによる $\rho$ の重ね合わせ: 古典相関

表 1: 密度行列  $\rho_p$ ,  $\rho_m$ ,  $\rho_e$  に対するスピン測定の結果の確率。

密度行列	$\uparrow \uparrow$	$\uparrow\downarrow$	$\downarrow \uparrow$	$\downarrow\downarrow$	++	+-	-+	
$\rho_p$	1	0	0	0	1/4	1/4	1/4	1/4
$\rho_m$	1/2	0	0	1/2	1/4	1/4	1/4	1/4
$\rho_e$	1/2	0	0	1/2	1/2	0	0	1/2

### 4.3 エンタングルメントと縮約密度行列

•  $\rho$ がテンソル積状態の純粋状態のとき、 $\rho_A$ は純粋状態

$$\rho = (|\psi_1\rangle \otimes |\psi_2\rangle) (\langle \psi_1| \otimes \langle \psi_2|) = |\psi_1\rangle \langle \psi_1| \otimes |\psi_2\rangle \langle \psi_2|, \qquad (108)$$

$$\rho_A = \operatorname{Tr}_B\left[\rho\right] = |\psi_1\rangle \langle \psi_1| \operatorname{Tr}\left[|\psi_2\rangle \langle \psi_2|\right] = |\psi_1\rangle \langle \psi_1| \tag{109}$$

 $ho_p = |\uparrow\uparrow\rangle \langle\uparrow\uparrow| = |\uparrow\rangle \langle\uparrow| \otimes |\uparrow\rangle \langle\uparrow|$  の場合、式 (55) より

$$\rho_A = \begin{pmatrix} 1 & 0 \\ 0 & 0 \end{pmatrix} = |\uparrow\rangle \langle\uparrow| \tag{110}$$

•  $\rho$  がエンタングルした状態の純粋状態のとき、 $\rho_A$  は混合状態  $\rho_e = |\Phi^+\rangle \langle \Phi^+|$  の場合、式 (55) より

$$\rho_A = \begin{pmatrix} \frac{1}{2} & 0 \\ 0 & \frac{1}{2} \end{pmatrix} = \frac{1}{2} |\uparrow\rangle \langle\uparrow| + \frac{1}{2} |\downarrow\rangle \langle\downarrow| \tag{111}$$

• 線形エントロピーは  $\rho_A$  の混合度  $\mu$ 

$$\mathcal{E} = \mu(\rho_A) = 1 - \text{Tr}\left[\rho_A^2\right] \tag{112}$$

#### 問題3

- $1^*$ ) 式 (図) の混合度が  $\mu = 0$  となることを示せ。
- $2^*)$ 式 (図) の混合度が  $\mu=1/2$  となることを示せ。

# 5 散乱理論、S行列、エンタングルメント・パワー

### 5.1 S行列と位相差

• S 行列: 散乱の始状態を終状態に変換する演算子

$$|\text{out}\rangle = S|\text{in}\rangle$$
 (113)

- 散乱は運動量 p と散乱角  $\theta$  で特徴付けられる  $\rightarrow$  角度について部分波展開し、軌道角運動量  $\ell$  ごとに p の関数で散乱を表現
- 以下では基本的に低エネルギーで支配的なs波散乱 ( $\ell=0$ ) のみを考える

$$S(p) = e^{2i\delta} \tag{114}$$

散乱位相差  $\delta$  : p の関数、 $\delta$  と  $\delta + n\pi$  は等価な S 行列

• 微分断面積、散乱振幅

$$\frac{d\sigma}{d\Omega} = |f(p)|^2, \quad f(p) = \frac{1}{p \cot \delta - ip}$$
(115)

位相差は散乱の情報を含んでいる

散乱長 a: 低エネルギー極限での散乱を特徴付ける

$$-\frac{1}{a} = \lim_{p \to 0} [p \cot \delta] \tag{116}$$

 $(p \to 0 \text{ or } \delta \to 0$ 、散乱長を逆符号で定義する文献もあるので注意)

• 全断面積の低エネルギー極限

$$\lim_{p \to 0} \sigma(p) = 4\pi a^2, \quad \sigma(p) = \int d\Omega |f(p)|^2 \tag{117}$$

a の符号は正負どちらも可能

## 5.2 散乱長

■ ユニタリティ限界:S行列のユニタリー性から決まる散乱断面積の上限

$$\sigma(p) \le \frac{4\pi}{p^2} \tag{118}$$

 $p \to 0$  で断面積の上限が無限大になる  $\Rightarrow$  散乱長の大きさ |a| は 0 から無限大まで可能

•  $a = 0: p \to 0$  で相互作用なし (noninteracting)

- $|a| \to \infty$ :  $p \to 0$  で相互作用無限大(ユニタリー極限)
- 原子物理のフェッシュバッハ共鳴:散乱長を外部磁場で制御しユニタリー極限が実現可能
- ユニタリー極限近傍では低エネルギー普遍性が発現する [II8, II9]← 系の典型的なスケールより大きな散乱長によるスケール不変性
- 例) a が正で大きい場合、浅い束縛状態が存在し、束縛エネルギー B は a のみで決まる

$$B = \frac{1}{2ua^2} \tag{119}$$

μは換算質量

- 非相対論的な系ではスケール不変性は**非相対論的共形対称性**を導く [3]
- シュレディンガー方程式が持つ最大の対称性(時空並進、回転、ガリレイブースト、スケール変換、共形変換)

# 5.3 2スピン系の量子ゲートとエンタングルメント

• 演算子(量子ゲート)U による状態の変化: $|\psi\rangle \rightarrow |\phi\rangle$ 

$$|\phi\rangle = U |\psi\rangle \tag{120}$$

• 制御 NOT ゲート: スピン A(制御ビット)が  $|\downarrow\rangle$  のときのみスピン B(標的ビット)を反転

$$CNOT = P_{\uparrow} \otimes 1 + P_{\downarrow} \otimes \sigma_x = \begin{pmatrix} 1 & 0 & 0 & 0 \\ 0 & 1 & 0 & 0 \\ 0 & 0 & 0 & 1 \\ 0 & 0 & 1 & 0 \end{pmatrix}$$

$$(121)$$

演算子の作用

$$CNOT |\uparrow\uparrow\rangle = |\uparrow\uparrow\rangle, \quad CNOT |\uparrow\downarrow\rangle = |\uparrow\downarrow\rangle, \tag{122}$$

$$CNOT |\downarrow\uparrow\rangle = |\downarrow\downarrow\rangle, \quad CNOT |\downarrow\downarrow\rangle = |\downarrow\uparrow\rangle, \tag{123}$$

$$CNOT \begin{pmatrix} \alpha \\ \beta \\ \gamma \\ \delta \end{pmatrix} = \begin{pmatrix} \alpha \\ \beta \\ \delta \\ \gamma \end{pmatrix} \tag{124}$$

図 2: 2-qubit 系の量子ゲートの回路図。左)制御 NOT ゲート、右)SWAP ゲート。

SWAP ゲート: スピン A とスピン B を交換

$$SWAP = \frac{1 + \boldsymbol{\sigma}_A \cdot \boldsymbol{\sigma}_B}{2} = \frac{1}{2} \left( 1 + \sum_{i} \sigma_i \otimes \sigma_i \right) = \begin{pmatrix} 1 & 0 & 0 & 0 \\ 0 & 0 & 1 & 0 \\ 0 & 1 & 0 & 0 \\ 0 & 0 & 0 & 1 \end{pmatrix}$$
(125)

CNOT を用いても表現できる(図 2)

演算子の作用

$$SWAP |\uparrow\uparrow\rangle = |\uparrow\uparrow\rangle, \quad SWAP |\uparrow\downarrow\rangle = |\downarrow\uparrow\rangle, \tag{126}$$

$$SWAP |\downarrow\uparrow\rangle = |\uparrow\downarrow\rangle, \quad SWAP |\downarrow\downarrow\rangle = |\downarrow\downarrow\rangle, \tag{127}$$

$$SWAP \begin{pmatrix} \alpha \\ \beta \\ \gamma \\ \delta \end{pmatrix} = \begin{pmatrix} \alpha \\ \gamma \\ \beta \\ \delta \end{pmatrix} \tag{128}$$

エンタングルメントの変化

$$\begin{cases} \text{CNOT} |\uparrow\uparrow\rangle = |\uparrow\uparrow\rangle, & \text{エンタングルメントは0のまま} \\ \text{CNOT} |\xi_0\uparrow\rangle = |\Phi^+\rangle, & \text{エンタングルメントは0から最大へ} \\ \text{CNOT} |\Phi^+\rangle = |\xi_0\uparrow\rangle, & \text{エンタングルメントは最大から0へ} \end{cases}$$
 (129)

エンタングルメントは**量子ゲートによって増減**しうる 作用させる状態によって増減が変わる

#### 5.4 エンタングルメント・パワー

• **エンタングルメント・パワー** (EP): U がエンタングルメントを**生成**する能力  $\square$ 

$$E(U) = \overline{\mathcal{E}(U \mid \mathcal{F}) \mathcal{F}(U \mid \mathcal{F})}$$
 (130)

始状態がテンソル積状態:

$$\mathcal{E}(| テンソル積状態 \rangle) = 0,$$
 (131)

$$\Rightarrow$$
  $\mathcal{E}(U \mid \tau)$  テンソル積状態  $\rangle = U$  が生成したエンタングルメント (132)

- 可能な全ての始状態について平均化:状態に依存しないEPの定義
- スピン A、スピン B をブロッホ球表示

$$|\theta_{A}, \phi_{A}\rangle \otimes |\theta_{B}, \phi_{B}\rangle = \begin{pmatrix} \cos\frac{\theta_{A}}{2} \\ \sin\frac{\theta_{A}}{2}e^{i\phi_{A}} \end{pmatrix} \otimes \begin{pmatrix} \cos\frac{\theta_{B}}{2} \\ \sin\frac{\theta_{B}}{2}e^{i\phi_{B}} \end{pmatrix}$$

$$= \begin{pmatrix} \cos\frac{\theta_{A}}{2}\cos\frac{\theta_{B}}{2} \\ \cos\frac{\theta_{A}}{2}\sin\frac{\theta_{B}}{2}e^{i\phi_{B}} \\ \sin\frac{\theta_{A}}{2}\cos\frac{\theta_{B}}{2}e^{i\phi_{A}} \\ \sin\frac{\theta_{A}}{2}\sin\frac{\theta_{B}}{2}e^{i(\phi_{A}+\phi_{B})} \end{pmatrix}$$

$$(133)$$

スピン A は  $\theta_A$ ,  $\phi_A$  で決まる向き、スピン B は  $\theta_B$ ,  $\phi_B$  で決まる向き

θ, φ は全立体角を覆う:

$$\int d\Omega = \int_0^{\pi} \sin\theta d\theta \int_0^{2\pi} d\phi = \int_{-1}^1 d\cos\theta \int_0^{2\pi} d\phi = 4\pi$$
(134)

● EP の具体形

$$E(U) = \int \frac{d\Omega_A}{4\pi} \int \frac{d\Omega_A}{4\pi} \, \mathcal{E}\left(U | \theta_A, \phi_A \rangle \otimes | \theta_B, \phi_B \rangle\right) \tag{135}$$

$$=1-\int \frac{d\Omega_A}{4\pi} \int \frac{d\Omega_A}{4\pi} \operatorname{Tr}_A\left[\rho_A^2\right],\tag{136}$$

$$\rho_A = \operatorname{Tr}_B \left[ U(|\theta_A, \phi_A\rangle \otimes |\theta_B, \phi_B\rangle) (\langle \theta_A, \phi_A| \otimes \langle \theta_B, \phi_B|) U^{\dagger} \right]$$
(137)

• EP は U のみに依存:U が S 行列で位相差  $\delta$  を含む場合、EP は  $\delta$  の関数となる

#### 問題4

- $1^*$ )  $\sigma_A \cdot \sigma_B$  をクロネッカー積であらわし式 ( $\square 25$ ) を示せ。
- $2^*$ )  $\sigma_A \cdot \sigma_B \ket{\Psi^-} = -3 \ket{\Psi^-}$ 、 $\sigma_A \cdot \sigma_B \ket{\Psi^+} = +1 \ket{\Psi^+}$ を示せ。
- 3\*) 式 (129) を示せ。

# 6 核力とエンタングルメント抑制

### 6.1 2核子系の波動関数

- 2核子系の対称性
  - 空間回転対称性 O(3) ← QCD のローレンツ対称性
  - スピン $SU(2)_s \leftarrow QCD$ のスピン対称性とローレンツ対称性
  - アイソスピン  $SU(2)_{\tau} \leftarrow QCD(u, d \rho_{\tau} \rho)$  のアイソスピン対称性

それぞれ独立な変換  $\rightarrow$  核子は  $SU(2)_S \times SU(2)_I$  **対称性**に従う

2核子系

$$\frac{1}{2} \otimes \frac{1}{2} = 0 \oplus 1 \tag{138}$$

全スピンSは0または1、全アイソスピンIも0または1

• 2 核子状態:

$$|NN\rangle = |\phi_{\ell}(\mathbf{r})\rangle \otimes |\mathrm{Spin}\rangle \otimes |\mathrm{Isospin}\rangle,$$
 (139)

 $|\phi_{\ell}(\boldsymbol{r})\rangle$ :相対座標 $\boldsymbol{r}$ の空間波動関数:軌道角運動量 $\ell$ で指定,

 $|Spin\rangle: 2$ 核子のスピン波動関数: $|S,S_z\rangle=|0,0\rangle, |1,1\rangle, |1,0\rangle, |1,-1\rangle,$ 

 $|\text{Isospin}\rangle: 2$ 核子のアイソスピン波動関数:  $|I,I_z\rangle=|0,0\rangle,|1,1\rangle,|1,0\rangle,|1,-1\rangle$ 

Bell 状態との関係

$$|0,0\rangle = |\Psi^{-}\rangle, \quad |1,0\rangle = |\Psi^{+}\rangle, \quad |1,\pm 1\rangle = \frac{|\Phi^{+}\rangle \pm |\Phi^{-}\rangle}{\sqrt{2}}$$
 (140)

• 空間座標交換演算子  $P_r$ :核子を交換( $r_A \leftrightarrow r_B$ )すると相対座標は  $r = r_A - r_B \rightarrow -r$  球面調和関数の性質より

$$P_r \phi_\ell(\mathbf{r}) = \phi_\ell(-\mathbf{r}) = (-1)^\ell \phi_\ell(\mathbf{r})$$
(141)

s波 ( $\ell=0$ ) など  $\ell$  が偶数のとき空間波動関数は**対称**、奇数のとき反対称

• 2つのスピン演算子の内積の固有値

$$\sigma_A \cdot \sigma_B |0,0\rangle = -3|0,0\rangle, \quad \sigma_A \cdot \sigma_B |1,S_3\rangle = +1|1,S_z\rangle$$
 (142)

表 2: s波2核子状態のスピンとアイソスピン。

軌道角運動量	スピン	アイソスピン		
$\ell = 0$ (対称)	S=0(反対称)	<i>I</i> = 1 (対称)		
	S=1(対称)	I=0(反対称)		

• スピン交換演算子

$$P_{\sigma} = \frac{1 + \sigma_A \cdot \sigma_B}{2},\tag{143}$$

$$P_{\sigma}|0,0\rangle = -|0,0\rangle, \quad P_{\sigma}|1,S_z\rangle = +|1,S_z\rangle$$

$$\tag{144}$$

これは核子 A、B のスピンの入れ替えに対する対称性を表している S=0 は入れ替えに対して**反対称**、S=1 は**対称** 

• アイソスピン交換演算子

$$P_{\tau}|0,0\rangle = -|0,0\rangle, \quad P_{\tau}|1,I_z\rangle = +|1,I_z\rangle$$

$$\tag{145}$$

I=0 は入れ替えに対して反対称、I=1 は対称

● 核子はフェルミオン: 粒子の交換(全ての自由度の入れ替え)に対して全波動関数は反対称

$$P_r P_\sigma P_\tau |NN\rangle = -|NN\rangle \tag{146}$$

- *s* 波の低エネルギー散乱は **2 つの成分**のみで記述できる
  - スピンS = 0、アイソスピンI = 1 ( ${}^{1}S_{0}$ )
  - $\lambda \mathcal{C} \times S = 1$ ,  $\gamma \mathcal{C} \times I = 0$  ( $^{3}S_{1}$ )

ただし $SU(2)_S \times SU(2)_I$ 対称性のもとではS=0とS=1の散乱は独立でよい

#### 6.2 創発する対称性

現実の核力の散乱長 a<sub>S</sub>[IS]

$$a_0 \approx -23.76 \text{ fm}, \quad a_1 \approx 5.42 \text{ fm}$$
 (147)

• ハドロン物理の典型的長さスケール

$$1/m_{\pi} \approx 1.43 \text{ fm} \tag{148}$$

π中間子交換(最も長距離のハドロン間力)の到達距離

・ 散乱長が典型的長さスケールより大きくユニタリー極限に近い
⇒ 非相対論的共形対称性 [3]

$$|a_0| \gg 1/m_{\pi}, \quad |a_1| \gg 1/m_{\pi}$$
 (149)

• S = 0 と S = 1 両方がユニタリー極限に近い

$$1/|a_0| \sim 1/|a_1| \ll m_\pi \tag{150}$$

S=0とS=1の性質が類似

**⇒ スピン・フレーバー SU(4) 対称性 [□, 2]** 

$$\{|p\uparrow\rangle, |p\downarrow\rangle, |n\uparrow\rangle, |n\downarrow\rangle\} \tag{151}$$

• 基礎理論の対称性からは直接導けない:**創発する対称性**(emergent symmetry)

# 6.3 2核子系のエンタングルメント抑制

◆ 全スピン S の状態への射影演算子 J<sub>S</sub>

$$\mathcal{J}_0 = \frac{1 - \boldsymbol{\sigma}_A \cdot \boldsymbol{\sigma}_B}{4}, \quad \mathcal{J}_1 = \frac{3 + \boldsymbol{\sigma}_A \cdot \boldsymbol{\sigma}_B}{4}$$
 (152)

• pn 散乱: アイソスピンは I=0 または I=1

$$S = e^{2i\delta_0} \mathcal{J}_0 + e^{2i\delta_1} \mathcal{J}_1 \tag{153}$$

 $\delta_S$  は全スピン S の散乱位相差

● pn 散乱の EP [5]

$$E(S) = \frac{1}{6}\sin^2[2(\delta_0 - \delta_1)] \ge 0 \tag{154}$$

- 最小値 E(S) = 0 は  $\sin[2(\delta_0 \delta_1)] = 0$  のとき
  - 解1:  $|\delta_0 \delta_1| = 0$
  - 解 2:  $|\delta_0 \delta_1| = \pi/2$

- 解1:スピン0と1が同じ位相差、つまり同じ散乱が起きる⇒ スピン・フレーバー SU(4) 対称性
- 解2が低エネルギー極限  $(p \rightarrow 0)$  で成立する場合、散乱長は

$$-\frac{1}{a_0} = \lim_{p \to 0} [p \cot \delta_0], \quad -\frac{1}{a_1} = \lim_{p \to 0} [p \cot \delta_1]$$
 (155)

 $\delta_1 = \delta_0 + \pi/2$  として辺々かける:

$$\frac{1}{a_0} \frac{1}{a_1} = \lim_{p \to 0} \left[ p \cot \delta_0 \cdot p \cot(\delta_0 + \pi/2) \right] = \lim_{p \to 0} \left[ p^2 \cot \delta_0 (-\tan \delta_0) \right] = -\lim_{p \to 0} p^2 = 0 \quad (156)$$

 $1/a_0$  または  $1/a_1$  のどちらかが 0: どちらかのチャンネルの散乱長が発散

⇒ 非相対論的共形対称性(シュレディンガー対称性)

# 6.4 量子ゲートによる解釈

- S 行列を量子ゲートとみなす解釈 🗈
- 解1のS行列:  $\delta_1 = \delta_0$  とすると

$$S = e^{2i\delta_0} \mathcal{J}_0 + e^{2i\delta_0} \mathcal{J}_1 = e^{2i\delta_0} (\mathcal{J}_0 + \mathcal{J}_1)$$

$$\tag{157}$$

射影演算子の和に比例

• 解 2 の S 行列: $\delta_1 = \delta_0 + \pi/2$  とすると

$$S = e^{2i\delta_0} \mathcal{J}_0 + e^{2i(\delta_0 + \pi/2)} \mathcal{J}_1 = e^{2i\delta_0} \mathcal{J}_0 + e^{2i\delta_0} \underbrace{e^{i\pi}}_{=-1} \mathcal{J}_1 = -e^{2i\delta_0} (\mathcal{J}_1 - \mathcal{J}_0)$$
 (158)

射影演算子の差に比例

• 射影演算子 (IL52) を用いると

$$\mathcal{J}_0 + \mathcal{J}_1 = \frac{1 - \boldsymbol{\sigma}_A \cdot \boldsymbol{\sigma}_B}{4} + \frac{3 + \boldsymbol{\sigma}_A \cdot \boldsymbol{\sigma}_B}{4} = 1 \tag{159}$$

$$\mathcal{J}_1 - \mathcal{J}_0 = \frac{3 + \boldsymbol{\sigma}_A \cdot \boldsymbol{\sigma}_B}{4} - \frac{1 - \boldsymbol{\sigma}_A \cdot \boldsymbol{\sigma}_B}{4} = \frac{1 + \boldsymbol{\sigma}_A \cdot \boldsymbol{\sigma}_B}{2} = \text{SWAP}$$
 (160)

解1はS行列がスピン空間で Identity ゲート (恒等演算子)

解 2 は S 行列がスピン空間で SWAP ゲート (スピン交換演算子)

• Identity、SWAP はテンソル積状態をテンソル積状態に射影する

$$1|\psi_A\rangle \otimes |\psi_B\rangle = |\psi_A\rangle \otimes |\psi_B\rangle \tag{161}$$

$$SWAP |\psi_A\rangle \otimes |\psi_B\rangle = |\psi_B\rangle \otimes |\psi_A\rangle \tag{162}$$

作用後もテンソル積なので EE が  $0 \rightarrow EP$  が 0

• E(S) = 0 を与えるのは Identity と SWAP のみ  $\leftarrow$  SU(4)/(SU(2)×SU(2)) のカルタン分解 [6]

# 7 一般のスピン、フレーバーへの拡張

#### 7.1 ハドロンのスピンとフレーバー

- QCD のフレーバー対称性
  - $-|u\rangle$ ,  $|d\rangle$ : フレーバー (アイソスピン) SU(2)
  - $|u\rangle, |d\rangle, |s\rangle$ : フレーバーSU(3)

⇒ ハドロンはフレーバー SU(2) および SU(3) 対称性に従う

• フレーバー対称性は近似的対称性  $(p \sim uud, n \sim udd, \Lambda \sim uds)$ 

$$m_p = 938 \text{ MeV}, \quad m_n = 940 \text{ MeV}, \quad m_{\Lambda} = 1116 \text{ MeV}$$
 (163)

SU(2):数%、SU(3):~20%の精度で成立

• バリオン(3クォーク状態)の波動関数

$$|qqq\rangle = |\phi_{\ell}(\boldsymbol{\rho}, \boldsymbol{\lambda})\rangle \otimes |\mathrm{Spin}\rangle \otimes |\mathrm{Flavor}\rangle \otimes |\mathrm{Color}\rangle$$
 (164)

空間波動関数  $|\phi_{\ell}(\boldsymbol{\rho}, \boldsymbol{\lambda})\rangle$ : ヤコビ座標  $\{\boldsymbol{\rho}, \boldsymbol{\lambda}\}$  と全軌道角運動量  $\ell$  で指定スピン波動関数  $|\mathrm{Spin}\rangle$ 

$$\frac{1}{2} \otimes \frac{1}{2} \otimes \frac{1}{2} = \frac{1}{2} \oplus \frac{1}{2} \oplus \frac{3}{2} \tag{165}$$

フレーバー波動関数 |Flavor |

$$3 \otimes 3 \otimes 3 = 1 \oplus 8 \oplus 8 \oplus 10 \tag{166}$$

カラー波動関数 |Color〉:完全反対称である1(カラーの閉じ込め)

• 基底状態  $\ell = 0$  で  $|qqq\rangle$  を完全反対称にするには(図  $\Box$ 

$$|\mathrm{Spin}\rangle \otimes |\mathrm{Flavor}\rangle = \begin{cases} |S = 1/2\rangle \otimes |\mathbf{8}\rangle & \mathsf{スピン}\,1/2\,\mathfrak{O}\,\mathbf{8}\,\mathbf{\underline{\pi}}\,\mathbf{\overline{y}}\,\mathsf{i}\,\mathcal{J}\,\mathcal{J}\,\mathcal{J}\\ |S = 3/2\rangle \otimes |\mathbf{10}\rangle & \mathsf{スピン}\,3/2\,\mathfrak{O}\,\mathbf{10}\,\mathbf{\underline{\pi}}\,\mathbf{\overline{y}}\,\mathsf{i}\,\mathcal{J}\,\mathcal{J}\,\mathcal{J} \end{cases}$$
 (167)

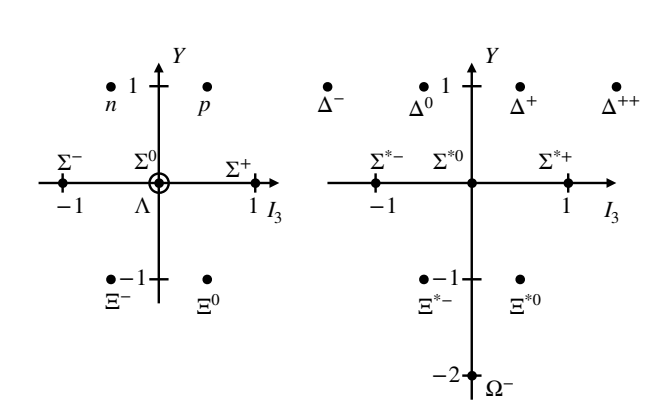


図 3: 基底状態のバリオンのウェイト図。左:バリオン8重項、右:バリオン10重項。

#### 7.2 8 重項バリオンの散乱

8重項バリオン2体系のスピンとフレーバー

$$\frac{1}{2} \otimes \frac{1}{2} = \underbrace{0}_{A} \oplus \underbrace{1}_{S} \tag{168}$$

$$\mathbf{8} \otimes \mathbf{8} = \underbrace{\mathbf{1} \oplus \mathbf{8}_S \oplus \mathbf{27}}_{S} \oplus \underbrace{\mathbf{8}_A \oplus \mathbf{10} \oplus \overline{\mathbf{10}}}_{A} \tag{169}$$

s 波ではスピン A フレーバー S またはスピン S フレーバー A の組み合わせのみ

● S 行列:独立な散乱は 6 成分

$$S = \mathcal{J}_{0}(\mathcal{F}_{1}e^{2i\delta_{0,1}} + \mathcal{F}_{8_{S}}e^{2i\delta_{0,8_{S}}} + \mathcal{F}_{27}e^{2i\delta_{0,27}}) + \mathcal{J}_{1}(\mathcal{F}_{8_{A}}e^{2i\delta_{1,8_{A}}} + \mathcal{F}_{10}e^{2i\delta_{1,10}} + \mathcal{F}_{10}e^{2i\delta_{1,10}})$$
(170)

 $\mathcal{J}_i$ は(IDD)のスピンiへの射影、 $\mathcal{F}_R$ はフレーバーRへの射影

- 電荷 Q、ストレンジネス S の保存:2体系の (Q,S) で決まるセクターごとに散乱例)(Q,S)=(+1,0):pn 散乱、 $\delta_{0,\mathbf{27}}$   $(^1S_0)$  と  $\delta_{1,\overline{10}}$   $(^3S_1)$  を含む  $\rightarrow$  核力の場合の結果
- 最も多くのチャンネルを含むセクター:(Q, S) = (0, -2)

$$\Sigma^{+}\Sigma^{-}, \ \Sigma^{0}\Sigma^{0}, \ \Lambda\Sigma^{0}, \ \Xi^{-}p, \ \Xi^{0}n, \ \Lambda\Lambda$$
 (171)

エンタングルメント抑制の帰結 🛛

$$S \propto 1$$
 スピン・フレーバー  $SU(16)$  対称性 (172)

$$S \propto \text{SWAP}$$
 フレーバー  $SU(8)$  かつ非相対論的共形対称性 (173)

フレーバー自由度が増えたため対称性が拡大 核力など他のセクターの対称性を部分対称性として含む

$$SU(16) \supset SU(4) \tag{174}$$

• スピン・フレーバー SU(16) 対称性: バリオンの対称性  $(16 = 8 \times 2)$ 

$$\{|p\uparrow\rangle, |p\downarrow\rangle, |n\uparrow\rangle, |n\downarrow\rangle, |\Lambda\uparrow\rangle, |\Lambda\downarrow\rangle, \cdots\}$$
 (175)

c.f.) large  $N_c$  極限ではスピン・フレーバー SU(6):  $\mathcal{O}_{\pi}$  クォークの対称性( $6=3\times2$ )

$$\{|u\uparrow\rangle, |u\downarrow\rangle, |d\uparrow\rangle, |d\downarrow\rangle, |s\uparrow\rangle, |s\downarrow\rangle\}$$
 (176)

 $\Rightarrow$  エンタングルメント抑制は large  $N_c$  より強い条件を与える [0] 格子 QCD は SU(16) 対称性を示唆する結果 [20]

● 2フレーバーの場合、クォーク  $\{u,d\}$  もバリオン  $\{p,n\}$  もどちらも基本表現  $\Rightarrow$  スピン・フレーバー対称性はクォークでもバリオンでも  $\mathrm{SU}(4)$ 

# 7.3 スピン3/2状態

スピン3/2状態(4成分量子ビット、4d-qudit):複素4成分ベクトル

$$|\psi_{4}\rangle = \begin{pmatrix} a \\ b \\ c \\ d \end{pmatrix}, \quad a, b, c, d \in \mathbb{C}$$

$$(177)$$

条件がなければ 8 自由度  $(\mathcal{H} = \mathbb{C}^4)$  規格化条件、位相の自由度により、 $|\psi_4\rangle$  は 6 自由度で表現できる

•  $\mathbb{C}^4$  の斜線  $\sim \mathbb{CP}^3$  の Fubini-Study measure

$$|\psi_{4}\rangle = \begin{pmatrix} \cos\theta_{1}\sin\theta_{2}\sin\theta_{3}\\ \sin\theta_{1}\sin\theta_{2}\sin\theta_{3}e^{i\nu_{1}}\\ \cos\theta_{2}\sin\theta_{3}e^{i\nu_{2}}\\ \cos\theta_{3}e^{i\nu_{3}} \end{pmatrix}, \quad d\omega_{4} = \frac{3!}{\pi^{3}} \prod_{i=1}^{3} d\theta_{i}d\nu_{i}\cos\theta_{i}\sin^{2i-1}\theta_{i}, \quad \int d\omega_{4} = 1$$

$$(178)$$

6 自由度  $\theta_i$ ,  $\nu_i$ , (i = 1, 2, 3)

スピン演算子 s: 複素 4 成分行列

$$s_{x} = \begin{pmatrix} 0 & \sqrt{3}/2 & 0 & 0 \\ \sqrt{3}/2 & 0 & 1 & 0 \\ 0 & 1 & 0 & \sqrt{3}/2 \\ 0 & 0 & \sqrt{3}/2 & 0 \end{pmatrix}, \quad s_{y} = \begin{pmatrix} 0 & -i\sqrt{3}/2 & 0 & 0 \\ i\sqrt{3}/2 & 0 & -i & 0 \\ 0 & i & 0 & -i\sqrt{3}/2 \\ 0 & 0 & i\sqrt{3}/2 & 0 \end{pmatrix},$$

$$(179)$$

$$s_z = \begin{pmatrix} 3/2 & 0 & 0 & 0 \\ 0 & 1/2 & 0 & 0 \\ 0 & 0 & -1/2 & 0 \\ 0 & 0 & 0 & -3/2 \end{pmatrix}$$
 (180)

 $\bullet$   $s_z$  の固有状態

$$|\uparrow\rangle = \begin{pmatrix} 1\\0\\0\\0 \end{pmatrix}, \quad |\uparrow\rangle = \begin{pmatrix} 0\\1\\0\\0 \end{pmatrix}, \quad |\downarrow\rangle = \begin{pmatrix} 0\\0\\1\\0 \end{pmatrix}, \quad |\Downarrow\rangle = \begin{pmatrix} 0\\0\\0\\1 \end{pmatrix}, \quad (181)$$

$$s_z |\uparrow\uparrow\rangle = \frac{3}{2} |\uparrow\uparrow\rangle, \quad s_z |\uparrow\rangle = \frac{1}{2} |\uparrow\rangle, \quad s_z |\downarrow\rangle = -\frac{1}{2} |\downarrow\rangle, \quad s_z |\downarrow\rangle = -\frac{3}{2} |\downarrow\rangle$$
 (182)

### 7.4 10 重項バリオンの散乱

• 10 重項バリオン 2 体系のスピンとフレーバー

$$\frac{3}{2} \otimes \frac{3}{2} = \underbrace{0 \oplus 2}_{A} \oplus \underbrace{1 \oplus 3}_{S} \tag{183}$$

$$\mathbf{10} \otimes \mathbf{10} = \underbrace{\mathbf{27} \oplus \mathbf{28}}_{S} \oplus \underbrace{\overline{\mathbf{10}} \oplus \mathbf{35}}_{A} \tag{184}$$

s波ではスピンAフレーバーSまたはスピンSフレーバーAの組み合わせのみ

S行列:独立な散乱は8成分

$$S = \mathcal{J}_{0}(\mathcal{F}_{27}e^{2i\delta_{0,27}} + \mathcal{F}_{28}e^{2i\delta_{0,28}}) + \mathcal{J}_{1}(\mathcal{F}_{\overline{10}}e^{2i\delta_{1,\overline{10}}} + \mathcal{F}_{35}e^{2i\delta_{1,35}}) + \mathcal{J}_{2}(\mathcal{F}_{27}e^{2i\delta_{2,27}} + \mathcal{F}_{28}e^{2i\delta_{2,28}}) + \mathcal{J}_{3}(\mathcal{F}_{\overline{10}}e^{2i\delta_{3,\overline{10}}} + \mathcal{F}_{35}e^{2i\delta_{3,35}})$$
(185)

■ スピン3/2の射影演算子:2次のカシミアの線形結合

$$\mathcal{J}_0 = \frac{33}{128} + \frac{31}{96} \left( \boldsymbol{s}_A \cdot \boldsymbol{s}_B \right) - \frac{5}{72} \left( \boldsymbol{s}_A \cdot \boldsymbol{s}_B \right)^2 - \frac{1}{18} \left( \boldsymbol{s}_A \cdot \boldsymbol{s}_B \right)^3, \quad \cdots$$
 (186)

- 電荷Q、ストレンジネスSの保存:2体系の(Q,S)で決まるセクターごとに散乱
- 最も多くのチャンネルを含むセクター: (Q, S) = (0, -2) (他に5セクター)

$$\Delta^{+}\Xi^{*-}, \ \Delta^{0}\Xi^{*0}, \ \Sigma^{*0}\Sigma^{*0}, \ \Sigma^{*+}\Sigma^{*-}$$
 (187)

エンタングルメント抑制[111]

$$S \propto 1 \quad \mathsf{A} \mathcal{L} \mathcal{V} \cdot \mathcal{I} \mathcal{V} - \mathcal{N} - \mathbf{SU}(40) \tag{188}$$

 $S \propto \text{SWAP}$  スピン SU(4) かつフレーバー SU(10) かつ非相対論的共形対称性

(189)

スピンおよびフレーバー自由度が増えたため対称性が拡大

- 現象論的な応用:(Q,S)=(-2,-6) の  $\Omega\Omega$  散乱 フレーバー自由度がない同種粒子系:反対称のスピン S=0 と S=2 のみ
- 格子 QCD: S=0 はユニタリー極限に近い [21]
- $\Omega\Omega$  散乱のエンタングルメント抑制 [m] (同種粒子の規格化の必要がある)

$$S \propto 1_A \quad \mathsf{ZL} \mathsf{SU}(4)$$
 (190)

$$S \propto \text{SWAP}_A$$
 **‡相対論的共形対称性** (191)

 $\Rightarrow$  スピン S=2 はユニタリー極限  $(S \propto 1_{4})$  または相互作用が弱い  $(S \propto SWAP_{4})$ 

# 参考文献

- [1] E. Wigner, Phys. Rev. **51**, 106 (1937).
- [2] D. B. Kaplan and M. J. Savage, Phys. Lett. B 365, 244 (1996), hep-ph/9509371.
- [3] T. Mehen, I. W. Stewart, and M. B. Wise, Phys. Lett. B 474, 145 (2000), hep-th/9910025.
- [4] P. Zanardi, C. Zalka, and L. Faoro, Phys. Rev. A 62, 030301 (2000), quant-ph/0005031.
- [5] S. R. Beane, D. B. Kaplan, N. Kloo, and M. J. Savage, Phys. Rev. Lett. 122, 102001 (2019), arXiv:1812.03138 [nucl-th].
- [6] I. Low and T. Mehen, Phys. Rev. D **104**, 074014 (2021), arXiv:2104.10835 [hep-th].
- [7] Q. Liu, I. Low, and T. Mehen, Phys. Rev. C 107, 025204 (2023), arXiv:2210.12085 [quant-ph].
- [8] T. Kirchner, W. Elkamhawy, and H.-W. Hammer, Few Body Syst. 65, 29 (2024), arXiv:2312.14484 [nucl-th].
- [9] T.-R. Hu, S. Chen, and F.-K. Guo, Phys. Rev. D 110, 014001 (2024), arXiv:2404.05958 [hep-ph].
- [10] T.-R. Hu, K. Sone, F.-K. Guo, T. Hyodo, and I. Low, (2025), arXiv:2506.08960 [hep-ph], Phys. Rev. Res., in press.
- [11] M. Carena, I. Low, C. E. M. Wagner, and M.-L. Xiao, Phys. Rev. D 109, L051901 (2024), arXiv:2307.08112 [hep-ph].
- [12] J. Thaler and S. Trifinopoulos, Phys. Rev. D 111, 056021 (2025), arXiv:2410.23343 [hep-ph].
- [13] M. Carena et al., JHEP **08**, 016 (2025), arXiv:2505.00873 [hep-ph].
- [14] J. Liu, M. Tanaka, X.-P. Wang, J.-J. Zhang, and Z. Zheng, (2025), arXiv:2505.06001 [hep-ph].
- [15] I. Chernyshev, C. E. P. Robin, and M. J. Savage, Phys. Rev. Res. 7, 023228 (2025), arXiv:2411.04203 [quant-ph].
- [16] S. Hill and W. K. Wootters, Phys. Rev. Lett. 78, 5022 (1997), quant-ph/9703041.
- [17] W. K. Wootters, Phys. Rev. Lett. 80, 2245 (1998), quant-ph/9709029.
- [18] E. Braaten and H.-W. Hammer, Phys. Rept. 428, 259 (2006), cond-mat/0410417.
- [19] P. Naidon and S. Endo, Rept. Prog. Phys. 80, 056001 (2017), arXiv:1610.09805 [quant-ph].
- [20] M. L. Wagman et al., Phys. Rev. D 96, 114510 (2017), arXiv:1706.06550 [hep-lat].
- [21] S. Gongyo et al., Phys. Rev. Lett. **120**, 212001 (2018), arXiv:1709.00654 [hep-lat].